

2/13

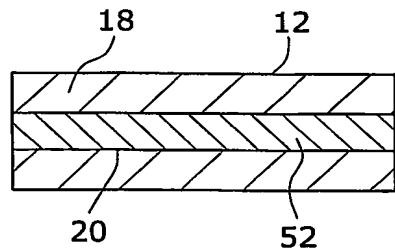


Fig. 4A

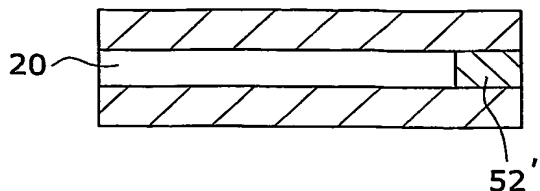


Fig. 4B

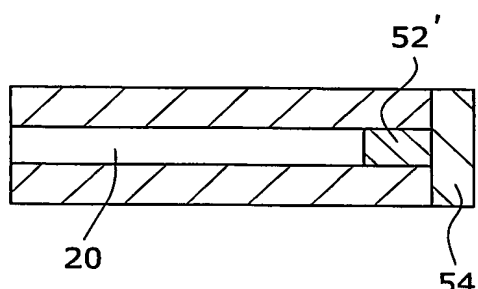


Fig. 4C

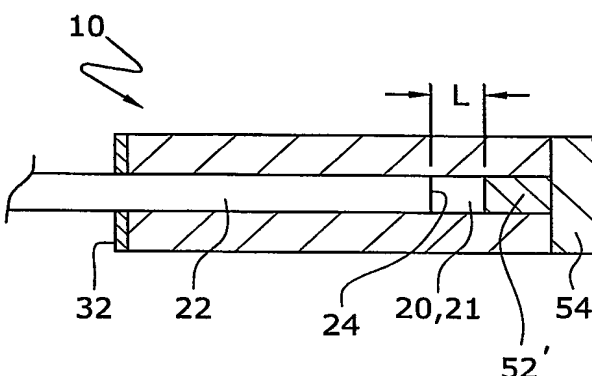


Fig. 4D

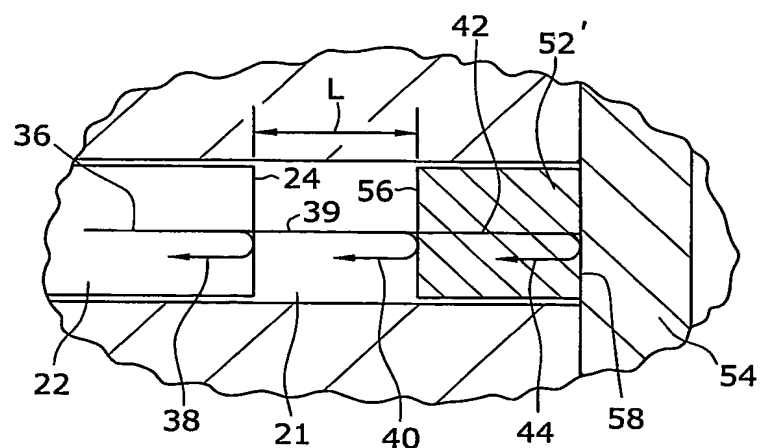


Fig. 5

3/13

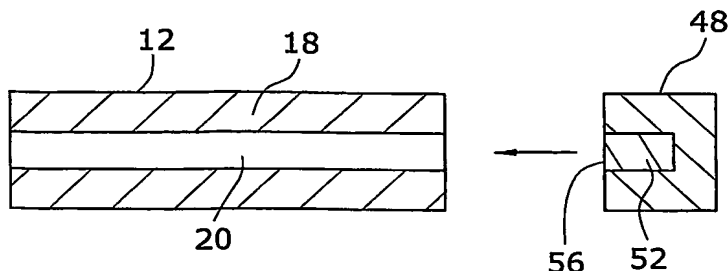


Fig. 6A

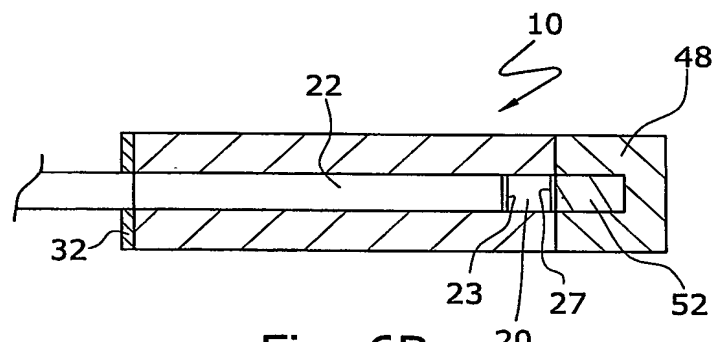


Fig. 6B

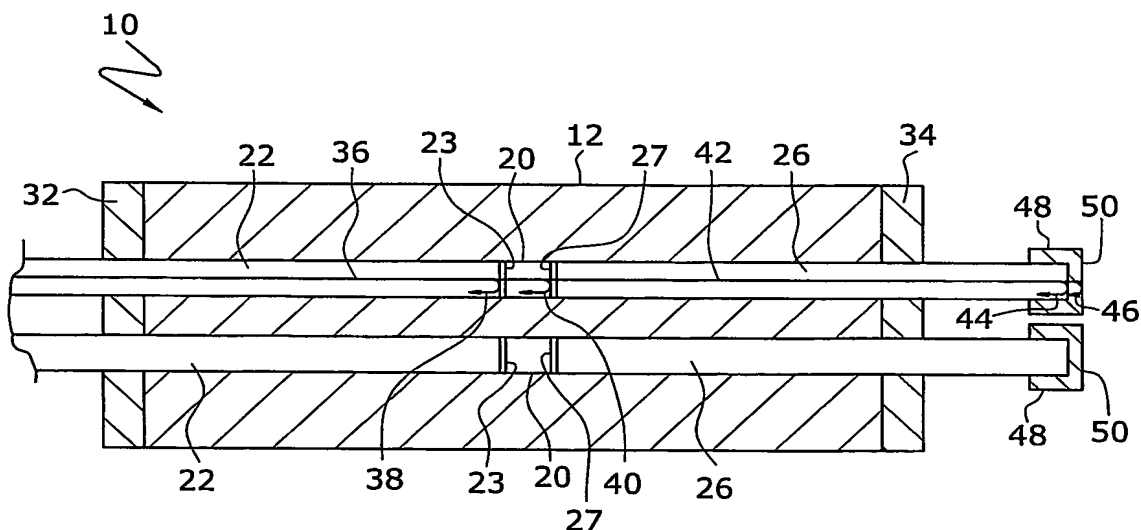


Fig. 7

4/13

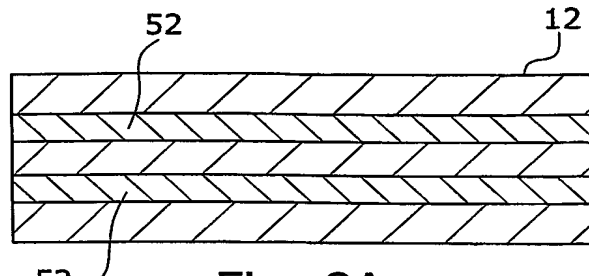


Fig. 8A

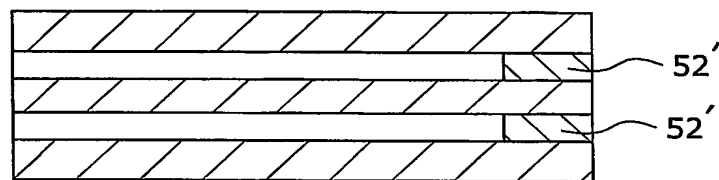


Fig. 8B

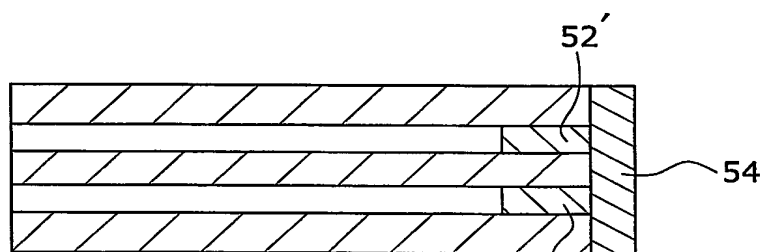


Fig. 8C

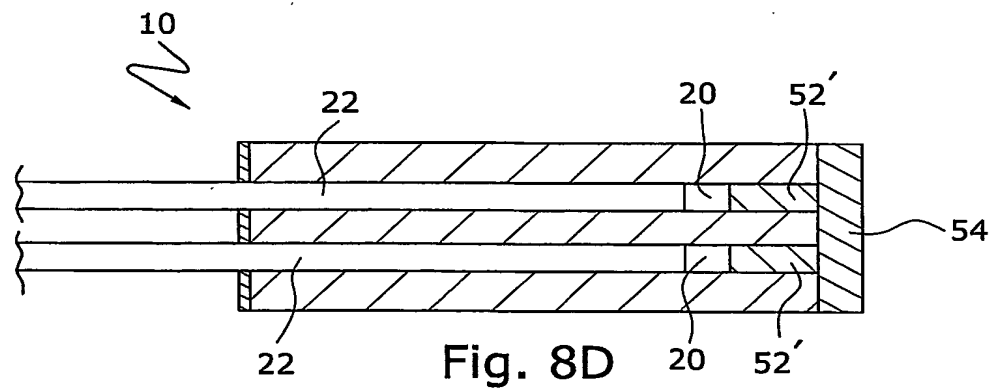


Fig. 8D

5/13

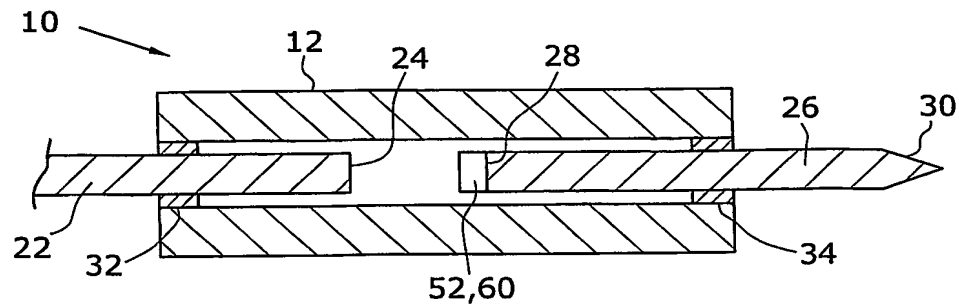


Fig. 9

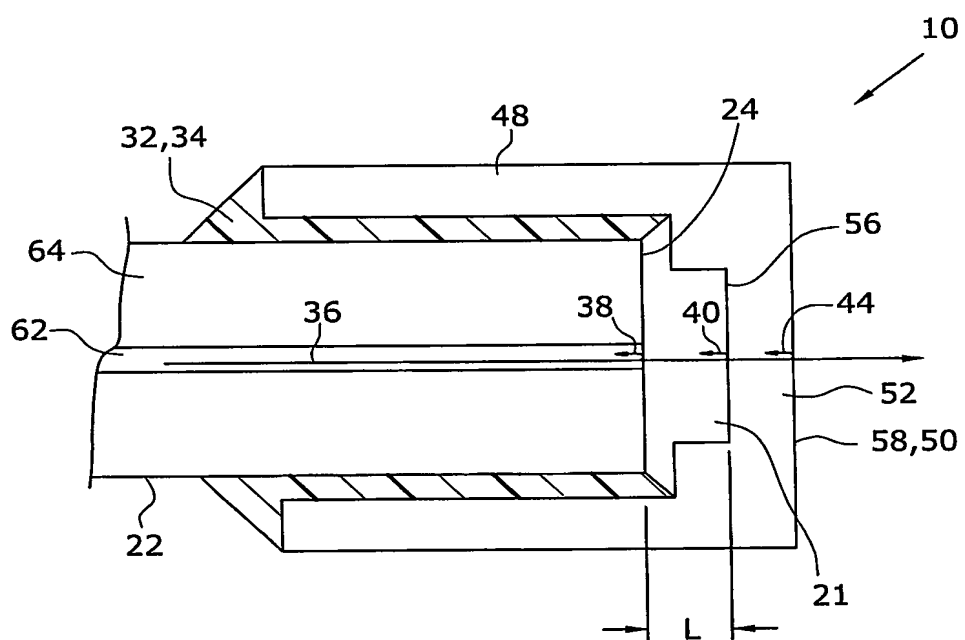


Fig. 10

6/13

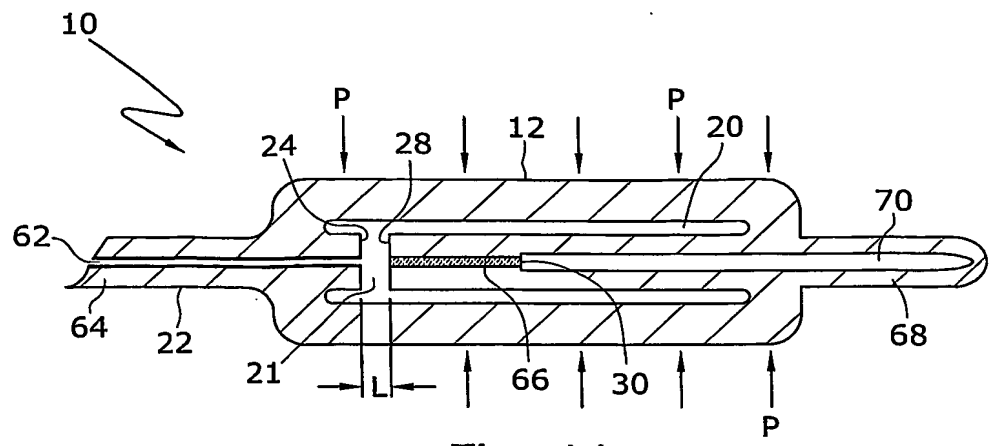


Fig. 11

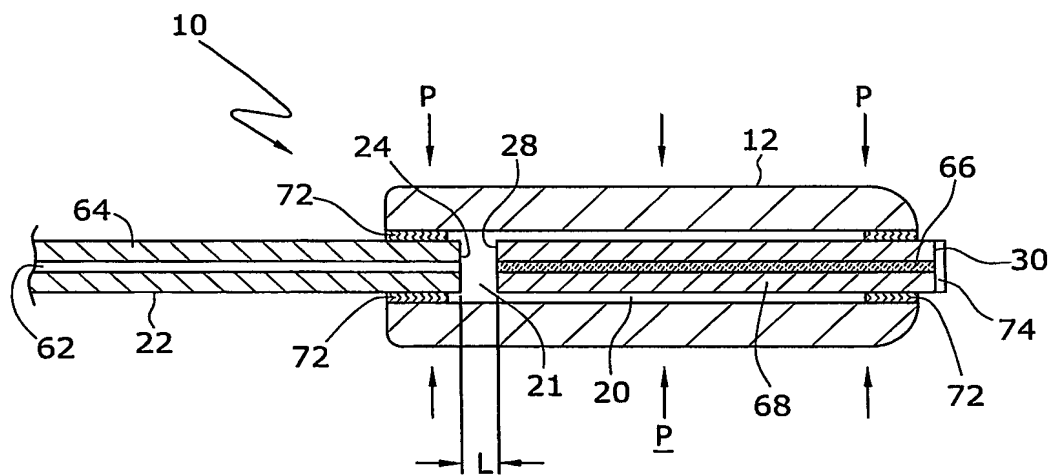


Fig. 12

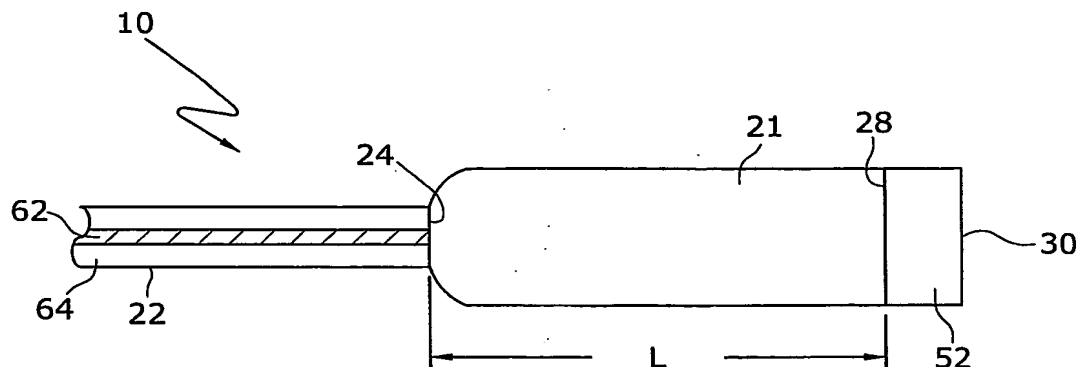


Fig. 13

7/13

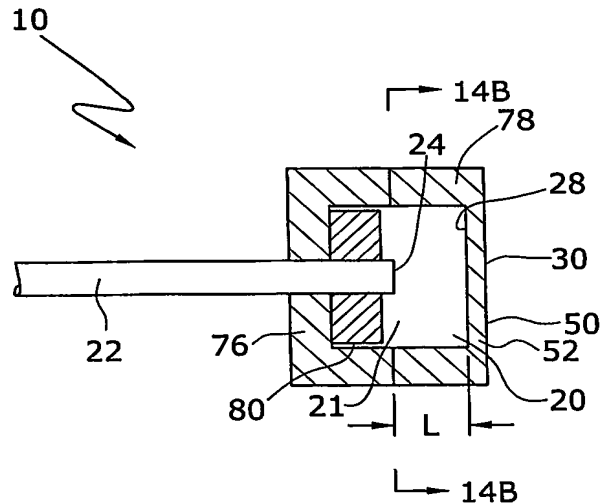


Fig. 14A

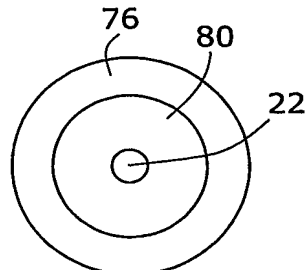


Fig. 14B

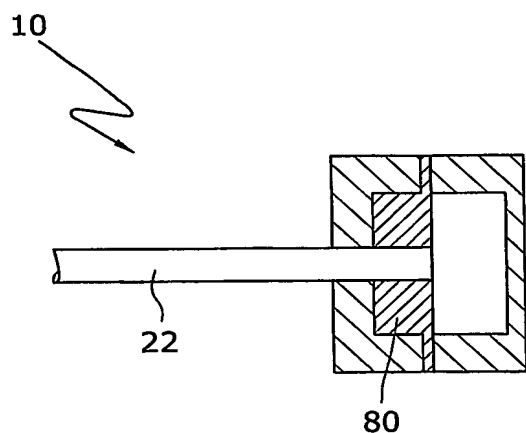


Fig. 14C

8/13

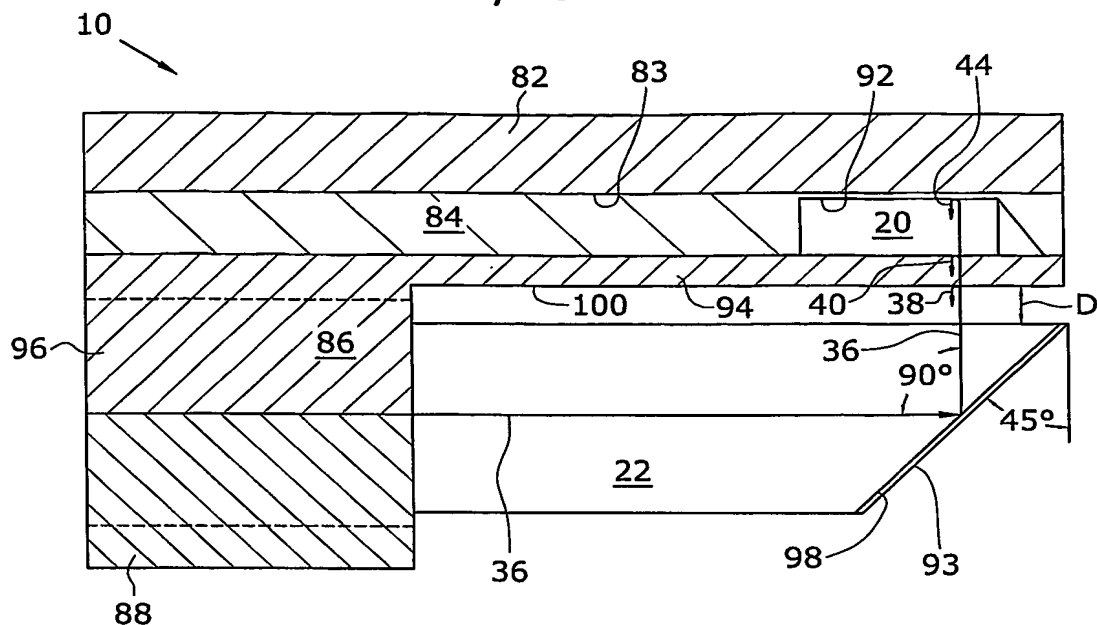


Fig. 15

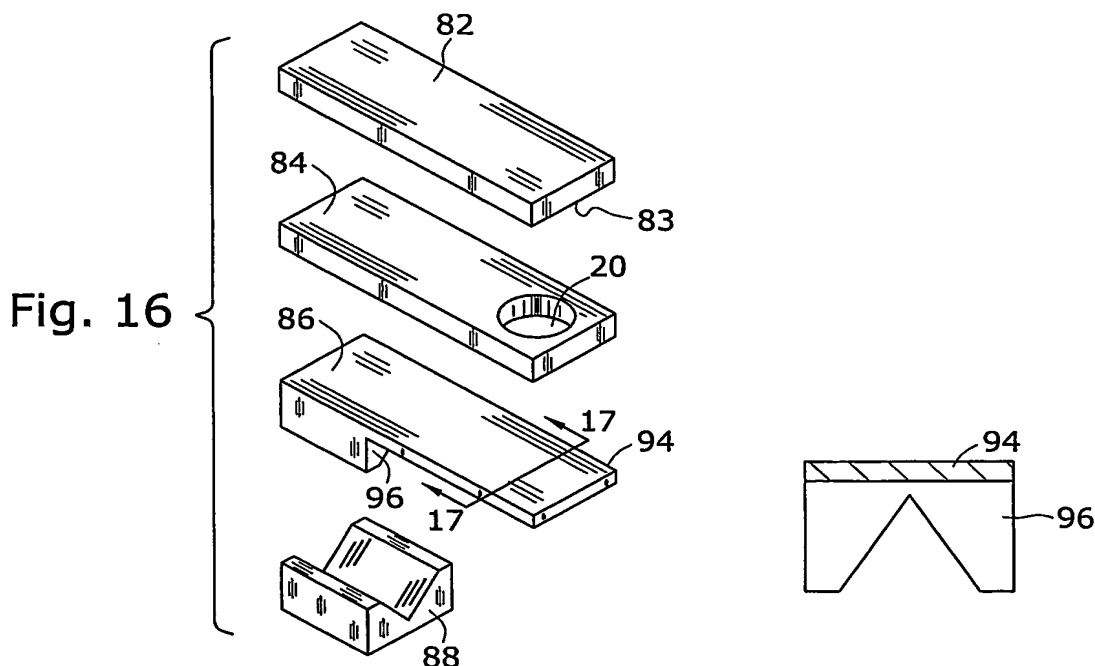


Fig. 17

9/13

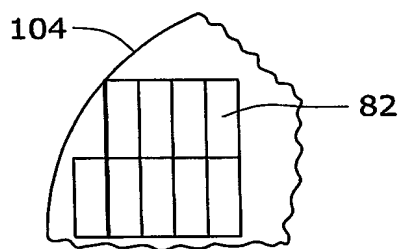


Fig. 18A

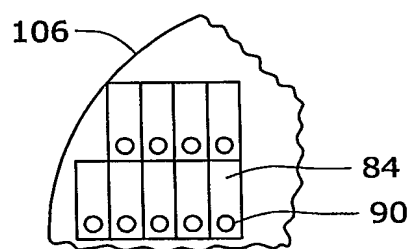


Fig. 18B

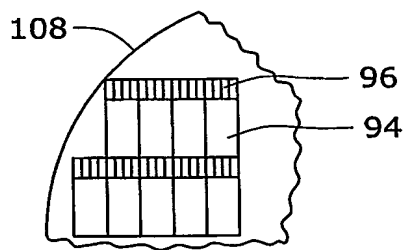


Fig. 18C

10/13

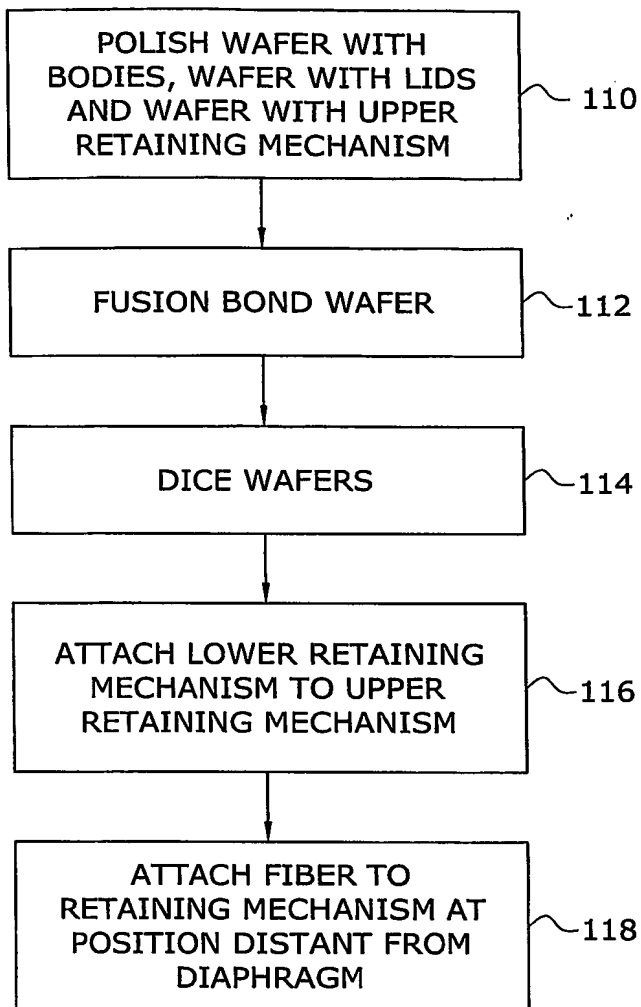


Fig. 19

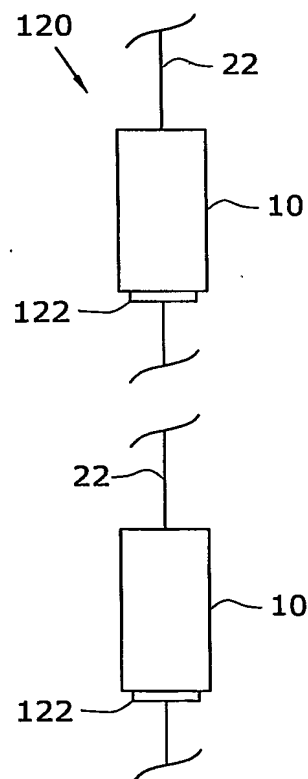


Fig. 20

Fig. 21      11/13

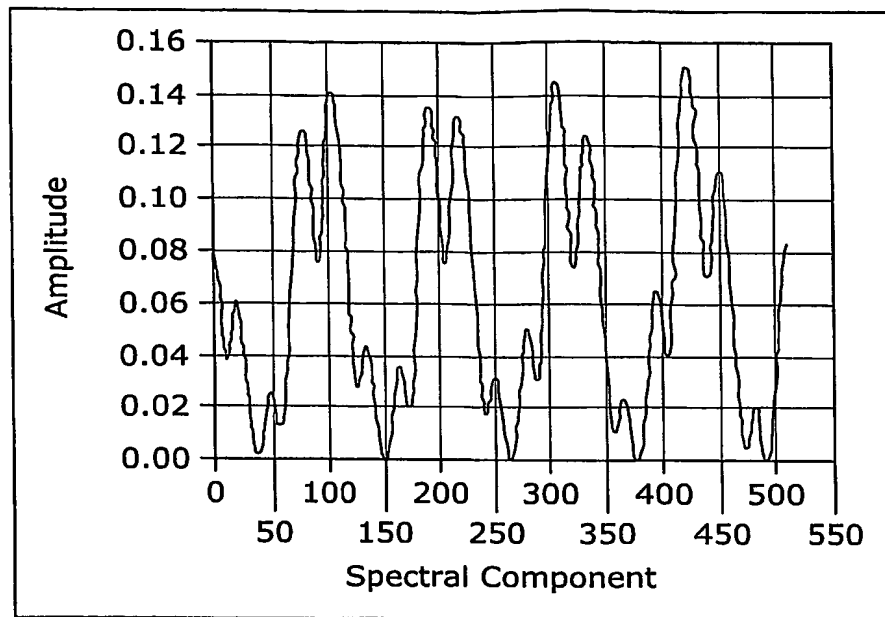
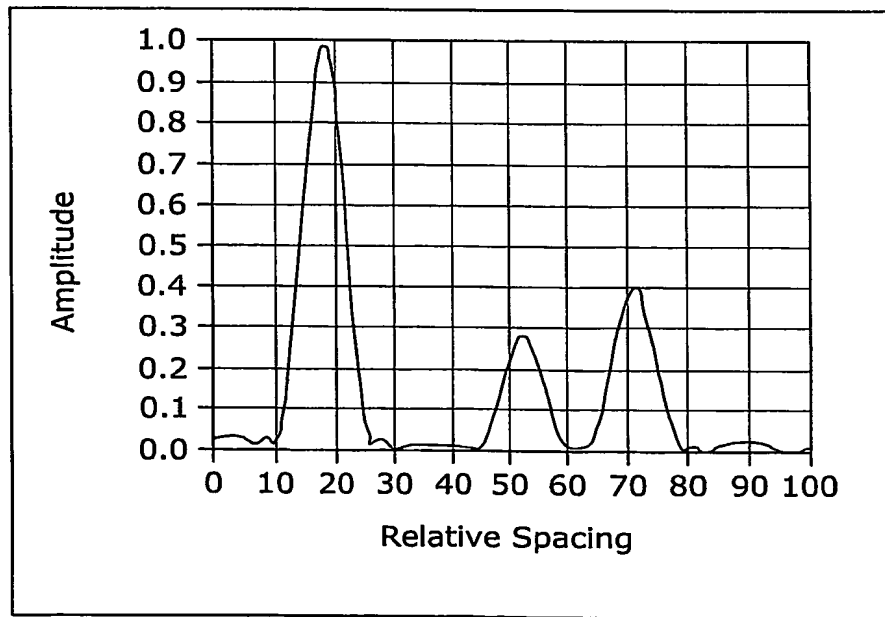


Fig. 22



12/13

Fig. 23

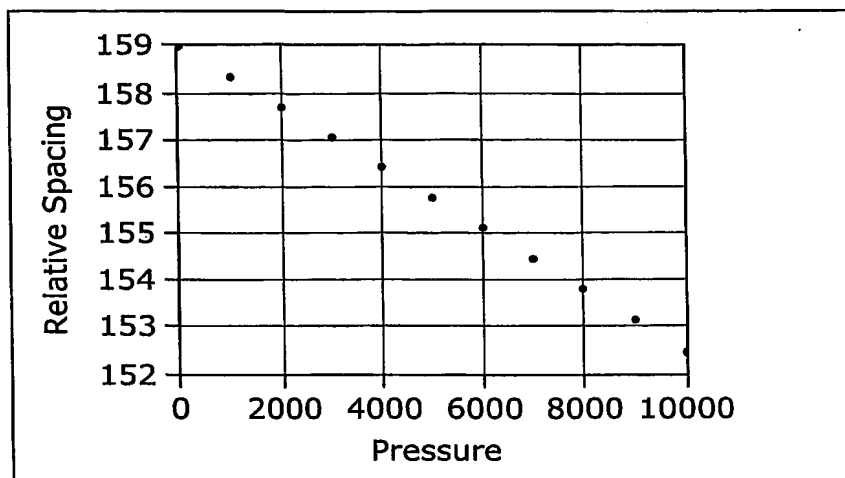
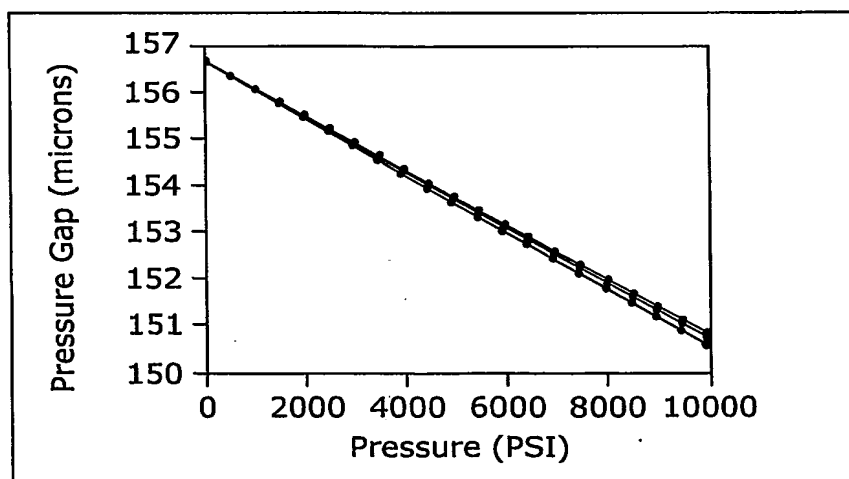


Fig. 24



13/13

Fig. 25

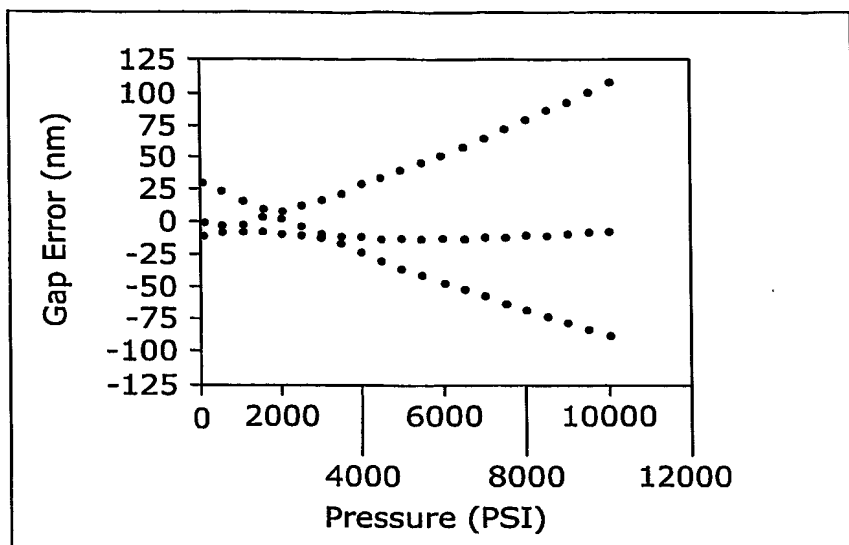


Fig. 26

